网络出版时间: 2021 - 6 - 11 15:56 网络出版地址: https://kns.cnki.net/kcms/detail/34.1065. R. 20210611.0928.014. html

# 容积激活性氯离子通道蛋白 CIC-3 表达下调促进 H9c2 心肌细胞肥大及其机制研究

孙 宇 陈梦青 注 帅 李艳文 喻 阳 李咏琪 李春梅

摘要 目的 探讨容积激活性氯离子通道蛋白 CIC-3 表达下调对 H9c2 心肌细胞的影响及其机制。方法 用 siRNA 转染 H9c2 心肌细胞构建 CIC-3 表达下调的细胞模型; 免疫荧光染色观察 H9c2 细胞表面积; qRT-PCR 检测 H9c2 细胞心房利钠肽(ANP)、脑钠肽(BNP)和β-肌球蛋白重链(β-MHC)的 mRNA 表达水平; JC-1 荧光探针检测线粒体膜电位(MMP)水平 图像分析系统研究 H9c2 心肌细胞的调节性体积回缩能力(RVD); 全细胞膜片钳技术检测 H9c2 细胞膜上氯电流的变化。结果 与空白组相比 siRNA 转染 H9c2 细胞72 h 能降低 CIC-3 mRNA 和蛋白的表达水平; 而 CIC-3 下调与异丙肾上腺素相似 都增加 H9c2 心肌细胞表面积和心肌肥大标志性因子 mRNA 的表达 同时降低 H9c2 细胞的MMP 和容积调节能力 抑制容积激活性氯离子电流的激活。

2021 - 04 - 17 接收

基金项目: 国家自然科学基金(编号: 31500926)

作者单位: 1 广东药科大学生命科学与生物制药学院 广州 510006 2 中国科学院深圳先进技术研究院 深圳 440305

作者简介: 孙 宇 ,男 ,硕士研究生;

李春梅 ,女 ,副教授 ,硕士生导师 ,责任作者 ,E-mail: gyli-chunmei@ 126. com

结论  $CIC \rightarrow$  表达的下调能诱导 H9c2 心肌细胞肥大 ,其机制可能与其损伤线粒体功能、降低细胞容积调节能力和抑制容积激活性氯离子电流的激活有关。

关键词 CIC-3; H9c2 细胞; 心肌细胞肥大; 线粒体膜电位; 容积激活性氯电流

中图分类号 R 329.21

文献标志码 A 文章编号 1000 – 1492(2021) 07 – 1075 – 07 doi: 10.19405/j. cnki. issn1000 – 1492.2021.07.014

心肌肥大的主要特点是心肌细胞体积增大,易引发心律失常,最终导致心力衰竭和心肌梗死等疾病<sup>[1]</sup>。CIC-3 是电压门控氯通道基因家族成员之一 在心脏、脑等组织中广泛表达<sup>[2]</sup>。许多研究<sup>[3-4]</sup>表明,CIC-3 的功能具有多效性,包括作为容积调节性氯离子通道的关键组成部分,能调节细胞体积,保护心肌细胞免受低氧、缺血或肥大时细胞体积过度增加的影响。前期研究<sup>[2-5]</sup>表明异丙肾上腺素能诱导大鼠原代心肌细胞、H9-c2 细胞和 C57 小鼠 CIC-3 表达降低,且 AAV-9 介导的 CIC-3 过表达小鼠能明

cancer cells , the level of mitochondrial oxidative stress and tumor formation in nude mice. Methods Colon cancer cells SW480 were randomly divided into a blank control group (Control) , a negative control group (miR-NC) , and an overexpression group (miR-302 mimic); the expression of miR-302 after transfection was detected by qRT-PCR; inflammatory factors interleukin (IL) -6 and inducible nitric oxide synthase (iNOS) were tested with enzyme linked immunosorbent assay (ELISA); IL-I β and tumor necrosis factor α (TNF-α) mRNA expression were detectd by qRT-PCR detection; the changes in mitochondrial membrane potential were detected by flow cytometry; oxidative stress markers malondialdehyde (MDA) and lactate dehydrogenase (LDH) were detected by kits; mitochondrial damage-related proteins B-cell lymphoma/leukemia 2 (Bcl-2) associated X (Bax), Bcl-2, cleaved cysteinyl aspartate specific proteinase (Cleaved cas) -3 and cas3, c-Myc, and their relative levels (Bax/Bcl2, Cleaved cas3/cas3) were detected by Western blot; a nude mouse xenograft model was established to detect tumor tissue weight; caspase 3 positive expression was detected by immunohistochemistry. Results Compared with the miR-NC group, the miR-302 expression, IL-6 and iNOS protein concentrations, IL-1β and TNF-α mRNA levels, oxidative stress marker levels (MDA, LDH), mitochondrial damage-related protein expression (Bax/Bcl2, Cleaved cas3/ cas3) and the positive expression of caspase 3 in tumor tissue significantly increased (P < 0.05); compared with miR-NC group, miR-302 Mimic group mitochondrial membrane potential, c-Myc expression and tumor tissue weight significantly reduced (P < 0.05). Conclusion Overexpression of miR-302 induces increased levels of inflammatory factors in colon cancer cells, mitochondrial oxidative stress, and inhibits tumor formation in nude mice.

Key words colon cancer; SW480 cells; miR-302; nude mice tumor formation; oxidative stress

显抑制异丙肾上腺素诱导的心肌肥厚。该研究利用 siRNA 转染 H9c2 心肌细胞构建 CIC-3 表达下调模型 观察其对心肌细胞的影响及机制 ,为研究 CIC-3 在心脏中的功能提供借鉴 ,同时也为临床心肌肥大的防治提供思路。

# 1 材料与方法

1.1 细胞与主要试剂 H9c2 细胞购自上海中国科学院细胞库。异丙肾上腺素(ISO)购自美国 Sigma公司。CIC-3 一抗购自英国 Abcam 公司。siRNA CIC-3 及转染试剂盒购自苏州瑞博生物有限公司。Bradford 蛋白浓度试剂盒、JC-1 线粒体膜电位(mito-chondrial membrane potential ,MMP)试剂盒、细胞骨架染色α-Tubulin一抗均购自北京碧云天生物技术有限公司。DMEM 培养基、FBS 胎牛血清、0.25%胰酶均购自上海 Gibco公司。TRIzol购自大连 TaKaRa生物公司。PCR 引物由上海生工生物工程有限公司设计并合成。Prime ScriptTMRT Reagent 及 SYBR PCR Mix 购自日本 ToYoBo 公司。

### 1.2 主要方法

- 1.2.1 细胞培养及分组 大鼠 H9c2 心肌细胞株在含 10% 的胎牛血清的 DMEM 培养基中培养,每 2 d 更换 1 次。在 37 %、5%  $CO_2$  的培养箱中培养传代 取对数期、生长良好的细胞进行实验。将  $2 \times 10^4$  个细胞接种于 6 孔板中,待细胞融合度达到  $60\% \sim 70\%$  时进行转染。加入小干扰 RNA 在培养箱中转染 48 h 和 72 h 后,更换为完全培养基继续培养 48 h,采用 qRT-PCR 和 Western blot 检测转染效率。实验主要分为 4 组:空白组、siRNA 空载对照组、肥大模型组:  $ISO(10 \mu mol/L$  诱导心肌肥大)以及 siRNA 转染敲低 CIC-3 组。
- 1.2.2 Western blot 检测 CIC-3 蛋白表达 H9c2 细胞经 100 nmol/L 的 siRNA 转染不同时间后,提取蛋白,并用 Bradford 法测定蛋白浓度。加入上样缓冲液后,用 SDS-PAGE 电泳分离蛋白样品 转膜后用奶粉封闭 2 h。  $4 \text{ }^{\circ} \text{C}$  孵育一抗,过夜后室温孵育二抗。采用 ECL 化学发光法检测。各组蛋白均以 GAPDH作为内参校正。
- 1.2.3  $\alpha$ -Tubulin 免疫荧光染色 将生长状态良好的 H9c2 细胞经胰蛋白酶消化后 ,接种于带有细胞 小圆玻片的 48 孔板中 ,每孔  $200~\mu l$  ,计数后调节细胞浓度约  $8\times10^3~ \text{个}/\text{孔}$  ,培养 24~h 细胞贴壁后 ,进行饥饿处理 12~h ,细胞换液按分组分别处理 48~h 后 ,弃去培养基 ,PBS 洗 3~次 ,每次 5~min ,用 4% 的多

聚甲醛固定 15 min ,弃固定液 ,PBS 洗 3 次 ,室温封闭 1 h ,然后加入  $\alpha$ -Tubulin(1:100) 一抗 4  $^{\circ}$ C 过夜。第 2 天加入羊抗鼠二抗室温避光孵育 1 h , DAPI 染色 ,PBS 洗 3 次后封片 ,荧光显微镜拍照 ,用 Image Pro Plus 6.0 进行图像处理和分析。

- 1.2.4 总 RNA 提取和 qRT-PCR 检测 mRNA 表达水平
- 1.2.4.2 qRT-PCR 检测 按逆转录试剂盒(QPS-201) 说明书反转录后,以 GAPDH 为内参, RT-PCR 检测心肌组织 ANP、BNP、β-MHC 的相对表达量。 引物序列如下: ANP 上游引物 5′-TACGAGACAGT-GACGGACAA-3′,下游引物 5′-GAAGAAGC-CCAGGGTGAT-3′; BNP 上游引物 5′-CAGCTCT-CAAAGGACCAAGG-3′,下游引物 5′-CGATCCGGTC-TATCTTCTGC-3′; β-MHC 上游引物 5′-GGGTATC-CGCATCTGTAGGA-3′,下游引物 5′-CCTTTCCGGC-TATCAATGAA-3′; ClC-3 上游引物 5′-AGACATT-GCTGCTGACTGGA-3′,下游引物 5′-CCCTCTCT-TCAAACGTCGTC-3′; GAPDH 上游引物 5′-AGGAG-TAAGAAACCCTGGAC-3′,下游引物 5′-CTGGGATG-GAATTGTGAG-3′。PCR 反应体系为 SYBR MIX 10  $\mu$ l、上游引物 1  $\mu$ l、下游引物 1  $\mu$ l、cDNA 2  $\mu$ l、 ddH<sub>2</sub>O 6 μl。根据 2 -ΔΔCt 法计算各组相对 mRNA 的 含量。
- 1.2.5 JC-1 染色 接种 H9c2 细胞于 48 孔板中 1  $\times 10^5$  个/孔 待细胞贴壁后按 1.2.1 进行分组及给药后 按试剂盒说明书进行操作 炭光显微镜下进行拍照 ,并用  $Image\ J$  软件进行分析。
- 1.2.6 容积调节性能力检测 在观察不同渗透压条件下细胞的容积调节性能力(RVD)时 ,用等渗液(ISO)灌流细胞 5 min ,改换低渗液灌流 20 min ,再等渗液灌流 5 min。细胞玻片安放在浴槽中 ,用数字

式摄像机连接相差显微镜与计算机,调节好显微镜 焦距及亮度后,拍摄图像,采用 Image Pro Plus 软件 进行处理。

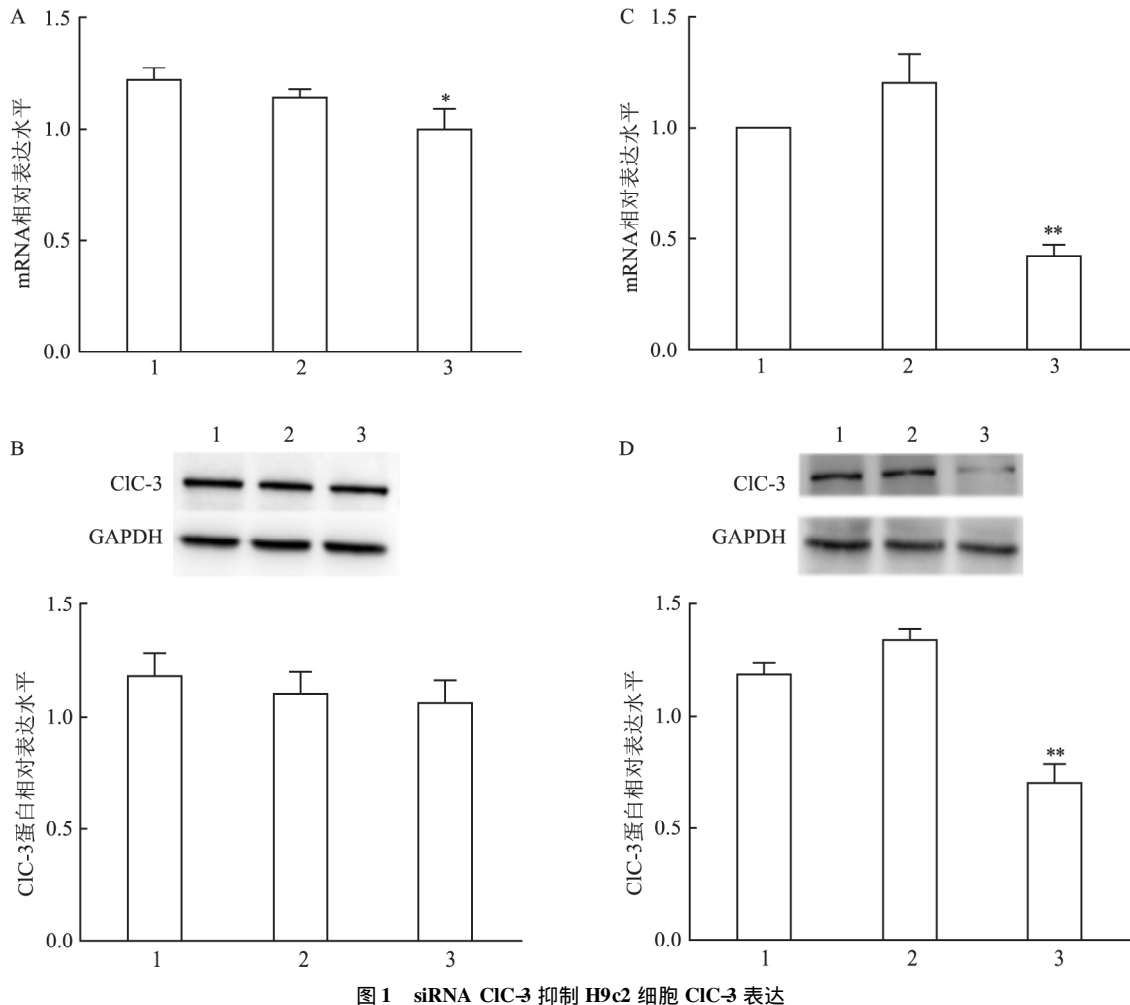
1.2.7 全细胞膜片钳记录 ICI 电流 该实验使用 芯片膜片钳技术检测 H9C2 细胞膜上氯电流的变 化。膜片钳技术用于记录电压钳位条件下一小片膜 中的电流 将细胞悬浮液置于芯片上。然后 通过气 泵施加压力进行抽吸 将单个细胞吸引并定位在孔 上。通过向孔施加负压来实现膜的密封和破裂以建 立整个电池构造。在 NPC 系统中,压力由 Patch-Control 软件控制。使用此软件,可以运行预定义的 协议 仪器收集的电流信号由 EPC 10 USB 膜片钳 放大器处理后呈现于显示屏并通过程序记录下来。 观察并记录等渗条件下的稳定电流 5 min 接着将细 胞外环境的等渗液换为低渗液 待细胞电流稳定后, 持续记录稳定电流 5 min 最后将细胞外环境的低渗

液换为等渗液,记录全程的电流变化。 A 1.5

1.3 统计学处理 应用 GraphPad Prism 8.0 统计 软件分析处理数据。计量资料以 $\bar{x} \pm s$ 表示,多组间 比较采用单因素方差分析(One-way ANOVA)和两 组间比较采用 t 检验。P < 0.05 代表差异有统计学 意义。

# 2 结果

2.1 siRNA 转染 H9c2 心肌细胞后 CIC-3 mRNA 及蛋白的表达 图 1 显示 与空白组比较 siRNA 空 载对照组并不能影响细胞内 CIC-3 mRNA 和蛋白水 平 ,而 siRNA 转染 H9c2 细胞 48 h 后 使细胞内 CIC-3 mRNA 降低(F=6.35 P<0.05) 但并没有引起细 胞内 CIC-3 蛋白水平的变化(F=2.77, P>0.05); siRNA ClC-3 转染 72 h 后 能诱导细胞内 ClC-3 mR-NA 和蛋白水平都降低(F = 52.84, P < 0.01 和 F =70.93 P < 0.01)。结果表明 siRNA 转染 H9c2 细 胞 72 h 后可以成功构建 CIC-3 表达下调模型。



A: 用 siRNA 转染 48 h 细胞中 ClC-3 mRNA 的表达; B: Western blot 法测量 siRNA 48 h 转染的细胞中 ClC-3 蛋白的水平; C: 用 siRNA 转染 72 h 细胞中的 CIC-3 mRNA 表达; D: Western blot 法检测 siRNA 转染 72 h 细胞中 CIC-3 蛋白的水平; 1: 空白组; 2: 转染空载组; 3: CIC-3 敲低组; 与空白组比较: \* P < 0.05 ,\*\*P < 0.01

- 2.2 CIC-3 表达下调对 H9c2 心肌细胞的影响 该 研究分别采用 α-tubulin(一种细胞骨架蛋白) 进行 荧光染色和 qRT-PCR 的方法来观察 ClC-3 表达下 调对 H9c2 心肌细胞表面积和细胞内几个常见的心 肌肥大标志因子 ANP、BNP 和 β-MHC mRNA 的表 达水平的影响。如图 2 所示 JSO(10 μmol/L) 刺激 H9c2 细胞 48 h 后 心肌细胞的表面积增加 [ISO 组 vs 空白组 (2 130.40 ± 369.78) vs (877.33 ± 109.88) F = 11.33 P < 0.01 鬼 2A、B ] 且 ANP、 BNP 和 β-MHC mRNA 的表达水平降低(F = 9.38、 597.9、86.51 均 P < 0.01); 而与 siRNA 空载对照 组不同 siRNA 诱导的 CIC-3 敲低组的细胞表面积 增加 [CIC-3 敲低组 vs 空白组,(2 127.33 ± 109.62) vs (877.33 ± 109.88) F = 4.93 P <0.01] ANP、BNP 和 β-MHC mRNA 的表达水平升高  $(F = 12.8 \cdot 1088 \cdot 63.6 P < 0.01)$
- 2.3 CIC-3 表达下调对 H9c2 心肌细胞线粒体功能的影响 JC-1 是一种广泛用于检测  $MMP \triangle \Psi m$  的理想荧光探针 红色荧光代表 JC-1 聚集体(即 MMP 较高) 绿色荧光代表 JC-1 单体(即 MMP 较低) 绿色荧光与红绿荧光强度的比值越高说明 MMP 越高; 线粒体电子传递链抑制剂 CCCP(CON +) 被用

- 作阳性对照。如图 3 所示 ,与空白组相比 siRNA 空载组不能引起 MMP 发生变化( F=3.26 P>0.05) ,而与 CCCP( CON + ) ( F=64.5 ,P<0.01) 和 ISO( F=30.49 ,P<0.01) 处理一样 ,siRNA CIC-3 能使 MMP 下降( F=280.5 P<0.01) 说明 CIC-3 表达下调能诱导线粒体结构和功能损伤。
- 2.4 CIC-3 表达下调对 H9c2 心肌细胞容积激活性 氯离子电流的影响 与空白组相比 ,空载 siRNA 处理后不会引起细胞容积激活性氯电流的改变( $F = 17.25 \ P < 0.01$ ) ,而 ISO 诱导与 CIC-3 表达下调都可抑制细胞容积激活性氯离子电流( $F = 7.72 \ P < 0.01$ )。结果显示 ,CIC-3 可能通过调节容积激活性 氯离子电流调控 H9c2 心肌细胞的表面积大小。见图 4。
- 2.5 CIC-3 表达下调对 H9c2 心肌细胞容积调节能力的影响 如图 5 所示 ,与空白组相比 ,ISO 诱导 H9c2 心肌细胞肥大后 ,H9c2 细胞的容积调节性能力下降(F=1.49 ,P<0.01); 而空载 siRNA 不引起细胞容积调节能力的改变(F=4.59 ,P>0.05); siRNA 转染敲低 CIC-3 组与 ISO 组类似 ,也可抑制细胞容积调节能力(F=2.67 ,P<0.01)。以上结果表明CIC-3表达下调导致H9c2细胞的肥大可能与

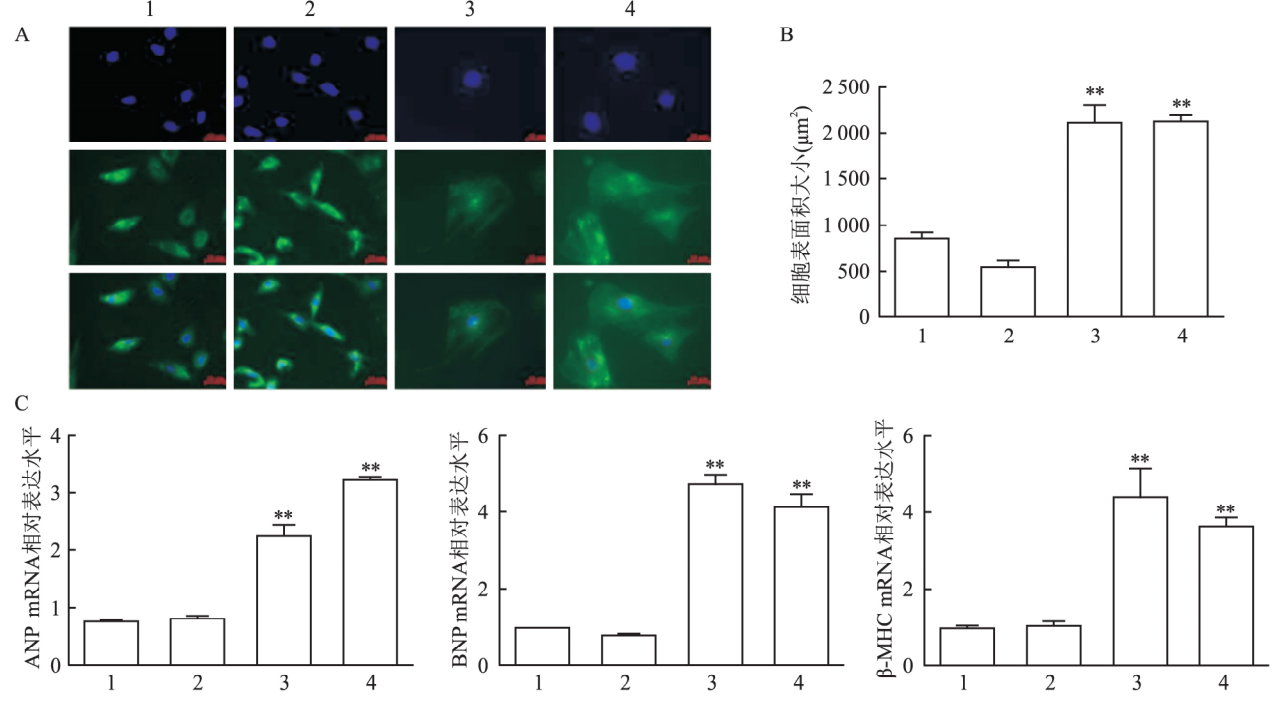
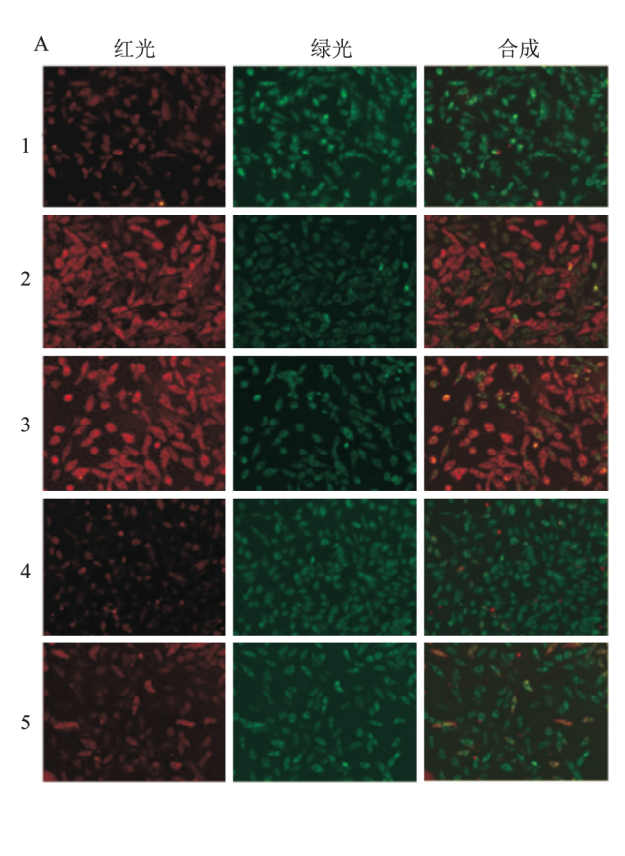


图 2 CIC-3 表达下调可使 H9c2 细胞产生心肌肥大

A: 免疫荧光检测细胞表面积; B: H9c2 细胞面积统计图; C: 心肌肥大标志性因子 ANP、BNP 和 β-MHCmRNA 的表达水平; 1: 空白组; 2: siR-NA 空载对照组; 3: siRNA 转染敲低 CLC-3 组; 4: ClC-3 敲低组; 与空白组比较: \*\*P < 0. 01



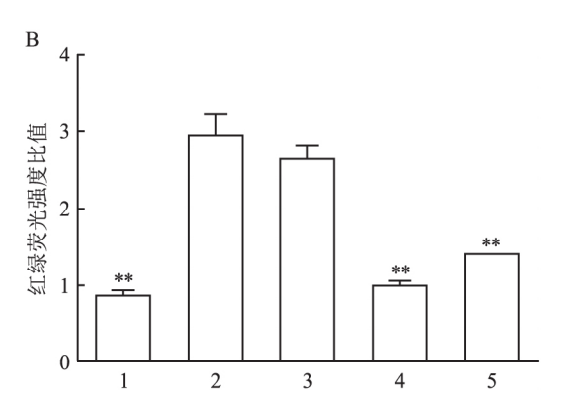


图 3 细胞内线粒体膜电位的变化 A: JC-I 试剂盒检测线粒体膜电位荧光图; B: 红色荧光与绿色荧光的比值; 1: CCCP 阳性组; 2: 空白组; 3: 转染空载组; 4: ISO 诱导肥大组; 5: ClC-3 敲低组; 与空白组比较: \*\* P < 0. 01

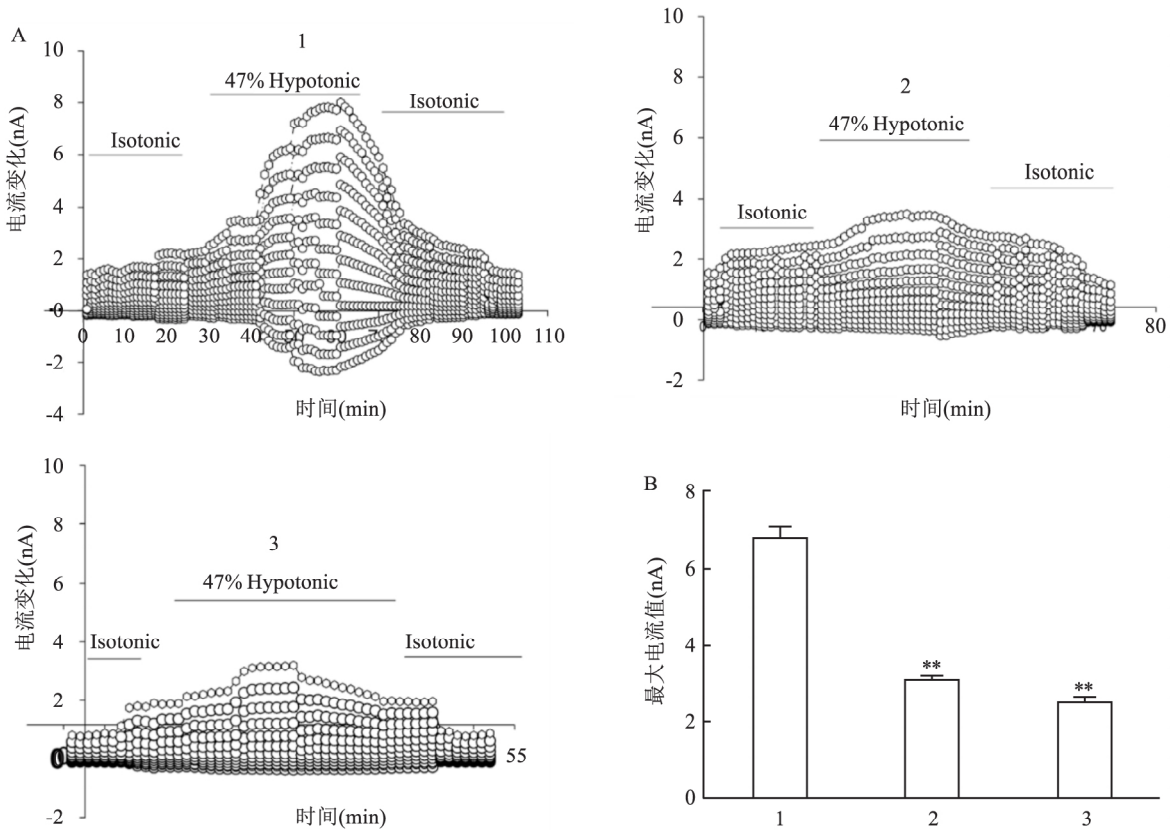


图 4 CIC-3 表达下调对 H9c2 细胞容积激活性氯离子电流的影响

A: H9c2 细胞在等渗 - 低渗 - 等渗溶液中全过程记录的细胞容积激活性氯电流; B: 低渗状态下细胞最大容积激活性氯电流值统计图; 1: 空白组; 2: ISO 诱导肥大组; 3: CIC-3 敲低组; 与空白组比较: \*\*P<0.01

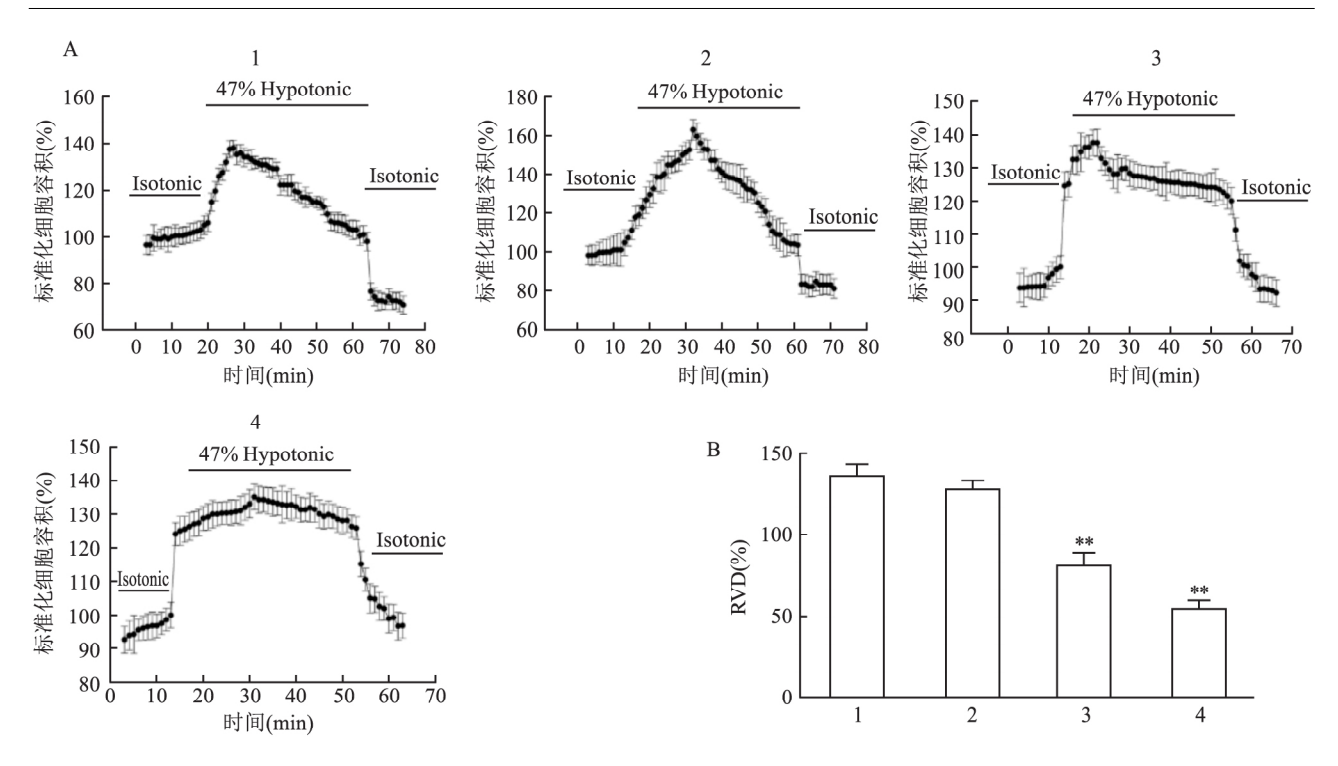


图 5 CIC-3 表达下调对 H9c2 细胞 RVD 的影响

A: H9c2 细胞在等渗 – 低渗 – 等渗溶液中标准体积的变化; B: RVD 值的统计图; 1: 空白组; 2: 转染空载组; 3: ISO 诱导肥大组; 4: CIC-3 敲低组; 与空白组比较: \*\*P<0.01

其下调细胞的容积调节性能力有关。

#### 3 讨论

心肌肥大的特征是长期高血压引起的室壁厚度 增加 是心血管疾病的主要危险因素 严重威胁到人 类健康。它常会引起心脏收缩功能障碍、心肌间质 的纤维化以及胎儿基因 ANP、BNP、β-MHC 的等效 应分子的表达增加[6]。CIC-3 氯通道是容积调节性 氯离子通道基因家族成员之一,在各类动物体内广 泛表达。参与到细胞兴奋、迁移、增殖、分化、凋亡和 体积稳态的过程中[7]。研究[8-9]表明 CIC-3 在主动 脉缩窄术诱导的心肌肥厚及心力衰竭中起着重要作 用。因此,CIC-3 可能具有调控心肌肥大的作用。 该研究在前期研究基础上进一步采用 siRNA 转染 H9c2 心肌细胞 72 h 成功构建了 ClC-3 表达下调的 细胞模型。CIC-3 下调的同时能诱导 H9c2 心肌细 胞表面积增加,心肌肥大标志性因子 ANP、BNP 和 β-MHC mRNA 的表达水平升高 ,表明 ClC-3 表达下 调能诱导心肌细胞肥大。这与前期研究[2]在大鼠 原代心肌细胞、H9c2 细胞和 C57 小鼠以及 AAV-9 介导的 CIC-3 过表达小鼠的结果是一致的。同时该 研究还通过与计算机连接的显微镜和膜片钳技术检 测了细胞 RVD 能力和细胞容积激活性氯离子电流。

结果显示 ,CIC-3 下调降低细胞的 RVD 能力和细胞的容积激活性氯离子电流 ,这些可能与其诱导心肌细胞肥大具有一定关系。

心脏是机体的重要器官,线粒体约占心肌细胞质量的30%,心脏空白运转所需的能量约95%来自线粒体<sup>[10]</sup>。因此,线粒体功能与心脏功能息息相关,线粒体在细胞内信号传导、细胞死亡等方面发挥着重要作用<sup>[11]</sup>。有报道<sup>[12]</sup>显示,由于线粒体功能受损导致的能量生成障碍将导致心脏代谢疾病。有研究<sup>[13]</sup>表明,肥大性心肌病中也观察到心脏线粒体肿胀、嵴断裂、呼吸链复合物活性降低。MMP作为重要的生物能量指标,能够反映线粒体的功能。该研究表明这与ISO处理相似,CIC-3下调也能诱导MMP降低,而导致线粒体功能损伤,这可能也与其能诱导心肌细胞肥大有关。

#### 参考文献

- [1] Samak M, Fatullayev J, Sabashnikov A, et al. Cardiac hypertrophy: an introduction to molecular and cellular basis [J]. Med Sci Monit Basic Res, 2016, 22(2): 75-9.
- [2] Li C , Huang D , Tang J , et al. CIC-3 chloride channel is involved in isoprenaline-induced cardiac hypertrophy [J]. Gene , 2018 , 642(5): 335-42.
- [3] Liang G , Cheng L , Chen X , et al. ClC-3 promotes angiotensin II-

- induced reactive oxygen species production in endothelial cells by facilitating Nox2 NADPH oxidase complex formation [J]. Acta Pharmacol Sin , 2018 , 39(11): 1725 34.
- [4] Wang D, Wang H, Gao F, et al. ClC-3 promotes osteogenic differentiation in MC3T3-E1 cell after dynamic compression [J]. J Cell Biochem, 2017, 118(6): 1606-13.
- [5] 陈梦青,黄 丹,孙 宇,等.腹腔注射去甲肾上腺素小鼠心肌组织形态学、容积调节性氯离子通道蛋白3表达变化及其意义[J].山东医药,2019,59(12):41-3.
- [6] Protsenko Y, Balakin A, Kuznetsov D, et al. Contractility of right ventricular myocardium in male and female rats during physiological and pathological hypertrophy [J]. Bull Exp Biol Med, 2017, 162(3): 303-5.
- [7] Guo R , Pan F , Tian Y , et al. Down-regulation of CIC-3 expression reduces epidermal stem cell migration by inhibiting volume-activated chloride currents [J]. J Membr Biol , 2016 , 249 (3): 281 92.
- [8] Halbach M, Egert U, Hescheler J, et al. Estimation of action potential changes from field potential recordings in multicellular

- mouse cardiac myocyte cultures [J]. Cell Physiol Biochem, 2003, 13(5): 271-84.
- [9] Xiong D, Heyman N S, Airey J, et al. Cardiac-specific, inducible ClC-3 gene deletion eliminates native volume-sensitive chloride channels and produces myocardial hypertrophy in adult mice
  [J]. J Mol Cell Cardiol, 2010, 48(1): 211-9.
- [10] Gibb A A , Lazaropoulos M P , Elrod J W. Myofibroblasts and fibrosis: mitochondrial and metabolic control of cellular differentiation [J]. Circ Res , 2020 , 127(3): 427 47.
- [11] Wang L, Gao K, Wang D. Exercise training has restorative potential on myocardial energy metabolism in rats with chronic heart failure [J]. Iran J Basic Med Sci, 2018, 21(8): 818-23.
- [12] Wang Y, Che J, Zhao H, et al. Platycodin D inhibits oxidative stress and apoptosis in H9c2 cardiomyocytes following hypoxia/ reoxygenation injury [J]. Biochem Biophys Res Commun, 2018, 503(4): 3219-24.
- [13] Shirakabe A , Ikeda Y , Sciarretta S , et al. Aging and autophagy in the heart [J]. Circ Res , 2016 , 118(10): 1563 – 76.

# The volume-activated chloride channel protein ClC-3 down-expression promotes the hypertrophy of H9c2 cardiomyocytesand its mechanism

Sun Yu<sup>1</sup>, Chen Mengqing<sup>2</sup>, Wang Shuai<sup>1</sup>, et al

( <sup>1</sup>School of Life Sciences and Biopharmaceuticals, Guangdong Pharmaceutical University, Guangzhou 510006; <sup>2</sup>Shenzhen Inustitute of Advanced Technology Chinese Academy of Science, Shenzhen 440305)

Abstract *Objective* To investigate the effect and mechanism of down-regulation of volume-activated chloride channel protein ClC-3 on H9c2 cardiomyocytes. *Methods* H9c2 cardiomyocytes were transfected with siRNA to construct a cell model of down-regulated ClC-3; immunofluorescence staining was used to observe the surface area of H9c2 cells; qRT-PCR was used to detect ANP , BNP and β-MHC of H9c2 cells; the level of mitochondrial membrane potential was detected by JC-1 fluorescent probe; the image analysis system was used to study the regulatory volume decrease (RVD) of H9c2 cardiomyocytes; the change of chloride current on H9c2 cell membrane was detected by whole cell patch clamp technology. *Results* Compared with the control group , siRNA transfection of H9c2 cells for 72 h could reduce the expression levels of ClC-3 mRNA and protein; and the down-regulation of ClC-3 expression was similar to isoproterenol , which could increase the surface area of H9c2 cardiomyocytes and the iconic factors. Besides , it decreased the mitochondrial membrane potential of H9c2 cells , reduced the capacity of volume regulation , and inhibited the activation of volume-activated chloride ion current. *Conclusion* The down-regulation of ClC-3 expression induces H9c2 cardiomyocyte hypertrophy. Its mechanism may be related to its damage to mitochondrial function , reduction of cell volume regulation and inhibition of volume-activated chloride current activation.

**Key words** ClC-3; H9c2 cells; cardiomyocyte hypertrophy; mitochondrial membrane potential; volume activated chlorine current